

کلونینگ قطعات ژنی NS3 و UTR'5 از عامل اسهال ویروسی گاوها در پلاسمید pWPI-linker B لنتی ویروسی

اعظم مختاری^{۱*}, امید مددگار^۲, آرش قلیانچی لنگرودی^۳, محمد رضا محزونیه^۴

۱. استادیار، گروه پاتوبیولوژی، دانشکده دامپزشکی، دانشگاه شهرکرد، شهرکرد- ایران.
۲. استادیار، گروه میکروبیولوژی و ایمونولوژی، دانشکده دامپزشکی، دانشگاه تهران، تهران- ایران.
۳. استادیار، گروه میکروبیولوژی و ایمونولوژی، دانشکده دامپزشکی، دانشگاه تهران، تهران- ایران.
۴. استاد، گروه پاتوبیولوژی، دانشکده دامپزشکی، دانشگاه شهرکرد، شهرکرد- ایران.

پذیرش: ۹ دی ماه ۹۴

دربافت: ۹ اردیبهشت ماه ۹۴

چکیده

عامل ایجاد اسهال ویروسی گاو (BVD) از جنس پستی ویروس از خانواده فلیوی ویریده است که خود موجب پدید آمدن مشکلات اقتصادی، بهداشتی قابل توجهی در مزارع پرورش گاو می‌شود. این ویروس گسترش جهانی دارد و با وجود کاربرد تدبیر کنترلی متعدد عليه آن، بیماری BVD همچنان شیوع دارد. در سال‌های اخیر روش‌های مختلفی نظیر ژن درمانی ضدویروسی برای کنترل بیماری BVD به کار گرفته شده است. یکی از این راه‌ها، کلونینگ نواحی حفاظت شده از ویروس در وکتورهای مناسب به منظور تهیه رده‌های سلولی بیان کننده رپلیکون‌های تحت ژنومی این ویروس است. در پژوهش حاضر، توالی‌های حفاظت شده از قطعات ژنی UTR'5 NS3 از سویه NADL از ویروس BVD پس از تکثیر با آزمون RT-PCR در وکتور لنتی ویروسی pWPI-linker B در فرادرست ژن GFP کلون شد. صحت کلونینگ با استفاده از هضم آنزیمی و تعیین توالی مورد تأیید قرار گرفت. به این ترتیب پلاسمید نوترکیب تولید شده، می‌تواند در سیستم‌های بسته‌بندی لنتی ویروسی به عنوان وکتور حامل ترانس ژن استفاده شود.

واژه‌های کلیدی: اسهال ویروسی گاو، 5'UTR NS3، کلونینگ، pWPI-Linker B

زنده تغییر یافته و غیرفعال، آزمایش‌های انتخابی برای شناسایی گاوها PI و کشتار آن‌ها، بیماری BVD در گله‌های گاو هنوز هم دیده می‌شود (۷ و ۸). یکی از علل این امر، تنواع آنتی‌ژنی قابل ملاحظه در BVDV است که مانع اصلی برای توسعه کارآمد واکسن‌های جدید و شایع محسوب می‌شود؛ به همین دلیل در سال‌های اخیر طراحی روش‌های ژن درمانی برای کنترل بیماری BVD توسعه یافته است (۵، ۶، ۷، ۸، ۹، ۱۰ و ۱۷). اولین قدم برای هر گونه اقدامی در راستای ژن درمانی کلونینگ توالی‌های ویروسی مورد هدف در وکتورهای مناسب است

مقدمه

عامل ایجاد اسهال ویروسی گاو (BVD) ویروسی متعلق به جنس پستی ویروس از خانواده فلیوی ویریده (Flaviviridae) است که سبب خسارت‌های اقتصادی و بهداشتی زیادی در مزارع پرورش گاو می‌شود. این ویروس در سراسر دنیا پراکنده و در سراسر جهان بسیار شایع است و به دلیل اهمیت بیماری ناشی از این ویروس، در صنعت دامپروری کوشش‌های فراوانی برای مبارزه با این ویروس انجام شده است (۱، ۲ و ۳). با وجود استفاده از تدبیر کنترل BVD نظیر واکسیناسیون با واکسن‌های

ترجمه ORF، تنظیم رونویسی ژنوم و بیان ژن است و بخش‌هایی مرتبط با حدت ویروس دارد (۱۹). با در نظر گرفتن وظایف عملکردی ویژه این دو بخش از ژنوم، این نواحی برای تولید یک رده سلولی به منظور ارزیابی استراتژی‌های ضد این ویروس انتخاب شد. یکی از جدیدترین روش‌های القای بیان ژن با استفاده از وکتورهای لنتی ویروسی است. لنتی ویروس‌ها در بخشی از چرخه زندگی، ژنوم خود را در ژنوم میزبان ادغام می‌کنند و بنابراین می‌توانند ابزاری برای بیان طولانی مدت یک ترانس ژن را حتی برای تمام عمر فراهم کنند. برای ایجاد چنین وکتورهای ویروسی، یکی از جدیدترین روش‌ها وارد کردن اجزای مختلف ژنوم در سه یا چهار پلاسمید مختلف و متعاقباً ترانسفکشن هم‌زمان این پلاسمیدها برای تولید یک ویروس در یک رده سلولی مناسب است. در این پژوهش پلاسمید لنتی ویروسی برای کلونینگ دو بخش از ویروس BVD. انتخاب شد، تا در مراحل بعد وکتورهای لنتی ویروسی حامل این دو ژن با استفاده از این پلاسمید و پلاسمیدهای حاوی ژن‌های ضروری لنتی ویروس تولید شود (۴، ۲۲ و ۲۵).

مواد و روش کار

به منظور کشت ویروس BVDV در رده سلولی بیضه گاو (BT=Bovine testicular cell line) در ابتدا سویه استاندارد BVDV-NADL (NC-001461) از آزمایشگاه مرجع سلامت حیوانات Sekans دانشگاه آنکارا تهیه و به رده سلولی بیضه گاو BT فراهم شده از مؤسسه سرم و واکسن‌سازی رازی، تلقیح شد. از محیط کشت DMEM (محصول GIBCO، آمریکا، به شماره کاتالوگ ۱۱۶-۱۲۸۰۰) ۱۰% FBS+ (محصول GIBCO ۱x ۱۰۲۷۰-۱۰۶) آمریکا، به شماره کاتالوگ ۱۱۶-۱۲۸۰۰ به عنوان محیط نگهداری سلول‌ها استفاده شد. هنگامی که به ۹۰ درصد

تا در مراحل بعدی، با استفاده از این وکتورها، استراتژی‌های درمانی و نیز رده‌های سلولی شاخص برای مانیتورینگ بیماری طراحی و تولید شود. ویروس عامل BVD بر اساس توانایی آسیب رساندن به سلول‌های میزبان دو بیوتیپ سایتوپاتیک (cp) و غیرسایتوپاتیک (ncp) و بر مبنای تفاوت در توالی نوکلئوتیدی دو ژنوتیپ BVDV-1 و BVDV-2 دارد (۷، ۱۱ و ۲۶). ژنوم این ویروس RNA تکرشته‌ای با سنس مثبت، فاقد کلاهک ترجمه و حدوداً ۱۲/۵ کیلو باز است و یک چهارچوب قرائت باز (ORF) به طول ۴۰۰۰ کدون و دو منطقه ترجمه نشونده (UTRs) در دو انتهای' ۳' و ۵' دارد (۷، ۱۴ و ۲۸). ORF در این ویروس برای یک پیش‌ساز پلی‌پروتئینی رمز صادر می‌کند که دچار شکافت شده و پروتئین‌های زیر را تولید می‌کند:

NH2-Npro-C-Erns-E1-E2-p7-NS2-
NS3(NS23)-NS4A-NS4B-NS5A-NS5B-
COOH

cpBVDV به عنوان پروتئین نشان‌دهنده NS3 شناخته شده و با فعالیت سرین پروتئازی در $\frac{1}{3}$ انتهای آمینی خود ژنوم ویروس را در جایگاه‌های شکاف NS3/NS4A NS4A/NS4B، NS4B/NS5A، NS3/NS5B، NS5A/NS5B، فعالیت نوکلوزید تری فسفاتاز و RNA هلیکاز هم دارد. بیان NS2-3 در ویروس‌های سایتوپاتیک و غیرسایتوپاتیک برای تشکیل ویریون‌های عفونی ضروری است. فعالیت پروتئازی NS3 در عفونت cpBVDV در سلول‌های آلوده سبب القای مرگ برنامه‌ریزی شده‌ی سلول می‌شود. ۱۵ آمینواسید انتهایی آمینی NS3 در به راه انداختن آبشار پروتئولیتیک آپوپتوز ناشی از عفونت BVDV نقش دارند (۱۸، ۲۴ و ۲۷). منطقه‌ی ۵'UTR به طول b، ۳۷۰ ثابت‌ترین و حفاظت‌شده‌ترین ناحیه ژنوم این ویروس در طول تکامل و شامل یک توالی ورود به ریبوزوم داخلی (IRES) است. این توالی ساختار ثانویه مهمی برای

واکنش RT-PCR به منظور افزوده‌سازی BVDV TaqMan با استفاده از کیت Reverse Transcription Reagents (N8080234) Invitrogen شرکت سازنده انجام شد. به طور خلاصه، واکنش در حجم mM₂/2μl ۱۰ RT x ۱μl ۱۰ بافر x ۰.۵μl ۰.۵mM ۲μl MgCl₂ ۰.۵μl dNTP ۱.۰mM ۲μl RNase مهارکننده ۰.۵μl آنزیم رونوشت بردار معکوس (۵۰U/ μl) و مقدار ۰.۲۵μl آنژیم رونوشت بردار معکوس (۵۰U/ μl) و مقدار ۰.۲۵μl آنژیم رونوشت بردار معکوس (۵۰U/ μl) محاسبه شده از RNA الگو و آب عاری از DNase/RNase دمایی واکنش ۲۵°C RT به مدت ۱۰ دقیقه، cDNA سنتز شده تا زمان انجام PCR در دمای ۴۸°C قرار گرفت.

طراحی پرایمرها با استفاده از نرم‌افزار Beacon no: NC001461(BVDV- designer برای NADL)ac. به انجام رسید. توالی پرایمرهای استفاده شده برای تکثیر BVDV NS3 و BVDV 5' UTR و شرایط دمایی واکنش PCR در جدول‌های ۱ الی ۳ درج شده است.

تراکم سلولی رسید، ۱۰۰ میکرولیتر از مایع کشت سلولی حاوی ویروس BVDV-NADL به هر چاهک از پلیت ۶ خانه کشت سلول اضافه شد و به مدت یک ساعت در دمای ۳۷°C گرمخانه‌گذاری شد؛ سپس هر روز سلول‌ها برای مشاهده اثرات سایتوپاتیک بررسی شدند و پس از مشاهده CPE استخراج RNA ویروسی انجام می‌شد. برای استخراج BVDV-RNA، پس از تریپسینه کردن سلول‌ها، به ازای هر خانه از پلیت ۶ خانه ۵۰۰ میکرولیتر QIAzol (QIAGEN) به رسمیت شناسی کاتالوگ: ۷۹۳۰۶ rpm به رسوب سلولی اضافه و با دور ۱۰۰۰ مدت ۵ دقیقه سانتریفیوژ شد. ۱۵۰ میکرولیتر کلروفورم به اپندروف حاوی سلول اضافه و به مدت ۱۵ دقیقه با rpm ۱۳۰۰۰ در ۴°C، سانتریفیوژ گردید. آنگاه به میزان دو برابر حجم به فاز رویی ایزوپروپانول سرد مطلق افزوده شد و یک شب در دمای ۴°C ۲۰-دقیقه قرار گرفت؛ سپس نمونه به ۱۳۰۰۰ rpm مدت ۱۵ دقیقه در دمای ۴°C با ۴°C سانتریفیوژ گردید. در پایان، برحسب اندازه رسوب مقدار ۵۰ میکرولیتر آب عاری از RNase اضافه و کاملاً پیپتاژ شد.

جدول ۱- توالی پرایمرهای رفت و برگشتی جهت کلونینگ نواحی BVDV 5' UTR و BVDV NS3

نام پرایمر	توالی پرایمر	TM (°C)	اندازه محصول (bp)
NS3 F	5'-CGCCACAGATCTACCGCAAGAGTACTGGGGAA-3'	۷۶	۲۲۳
NS3 R	5'-CGCCACAGATCTACCCATCAGTAGGTTATAGTC-3'	۷۴	۲۲۳
5'UTR F	5'-CGCGGATCCACCACCGTATACTGTATTGGGC-3'	۷۶	۳۸۰
5'UTRR	5'-GTTCCCCGGCGTCCATGTACACAGAGAT-3'	۷۵	۳۸۰



جدول ۲- برنامه دمایی واکنش PCR برای افزوده‌سازی NS3 BVDV

تکرار	زمان	دما (°C)	مراحل
۱	۲ دقیقه	۹۵	مرحله آغازین
۳۰	۳۰ ثانیه ۳۵ ثانیه ۳۵ ثانیه	۹۵ ۶۹/۷ ۷۲	مرحله واسرشت مرحله اتصال مرحله توسعه (ازدیاد)
۱	۵ دقیقه	۷۲	طویل شدن نهایی

جدول ۳- برنامه دمایی واکنش PCR برای افزوده‌سازی UTR ۵' BVDV

تکرار	زمان	دما (°C)	مراحل
۱	۲ دقیقه	۹۵	مرحله آغازین
۳۰	۳۰ ثانیه ۳۵ ثانیه ۴۵ ثانیه	۹۵ ۷۰/۷ ۷۲	مرحله واسرشت مرحله اتصال مرحله توسعه (ازدیاد)
۱	۵ دقیقه	۷۲	طویل شدن نهایی

(محصول Roche، آلمان، به شماره کاتالوگ: ۱۰۲۰۵۶۶۰۰۱) برش داده شد. برای این کار، بسته به برش منفرد یا دوگانه پلاسمید در یک ویال $1\text{ }\mu\text{l}$ پلاسمید با غلظت $1\text{ }\mu\text{g}/\text{ml}$ ، $0.5\text{ }\mu\text{l}$ بافر $10\times$ مربوط به آنزیم و $1\text{ }\mu\text{l}$ آنزیم (یا $0.5\text{ }\mu\text{l}$ از دو آنزیم) اضافه شد و با آب عاری از نوکلئاز به حجم $1\text{ }\mu\text{l}$ رسید و یک شب در دمای 37°C به منظور هضم منفرد NS3 و 30°C برای هضم دوگانه UTR ۵' قرار گرفت. پس از تأیید صحت برش با الکتروفورز در ژل 0.8 mm درصد، واکنش لیگاسیون انجام شد. $1\text{ }\mu\text{l}$ پلاسمید با غلظت $1\text{ }\mu\text{g}/\text{ml}$ ، $1\text{ }\mu\text{l}$ $T4$ بافر $10\times$ (فرمنتاز، آلمان، شماره کاتالوگ: B69)، $2\text{ }\mu\text{l}$ محلول $50\text{ }\mu\text{l}$ درصد از PEG-4000 (فرمنتاز، آلمان)، $1\text{ }\mu\text{l}$ آنزیم $T4$ DNA ligase ($5\text{ U}/\text{ml}$) (فرمنتاز، آلمان، به شماره کاتالوگ: EL0013) و 150 ng قطعه insert اضافه شد و با آب عاری از نوکلئاز به حجم $20\text{ }\mu\text{l}$ رسید. سپس به مدت 15 دقیقه در 22°C و یک شب در 4°C قرار داده شد. صحت اولیه Ligation با الکتروفورز

کنترل مثبت (نمونه‌ی cDNA یگ گاو مثبت از نظر BVDV با مشخصات C474) و منفی (نمونه‌ی N001) تهیه شده از نمایندگی آزمایشگاه‌های دامپزشکی و سلامت حیوانات (AHVLA) انگلستان در هر آزمون PCR مورد استفاده قرار گرفت. محصولات PCR پس از الکتروفورز در ژل آگارز 1.5% و رنگ آمیزی با اتیدیوم بروماید در کنار مارکر سایز 100 bp (Fermentas، آلمان) مشاهده شد.

به منظور برش پلاسمید، لیگاسیون، پس از خالص مسازی محصول PCR با استفاده از $2\text{ }\mu\text{l}$ سدیم استات (M)، $2\text{ }\mu\text{l}$ محلول 125 mM EDTA و $50\text{ }\mu\text{l}$ اتانول مطلق به ازای هر $20\text{ }\mu\text{l}$ محصول PCR پلاسمید لنتی pWPI-Linker B تهیه شده از مرکز تحقیقات زیست‌پژوهشی و (IMIM) در اسپانیا توسط آنزیم‌های Andonونوکلئاز محدود کننده *BamHI* (محصول Roche، آلمان، شماره کاتالوگ: ۱۰۲۰۶۱۲۰۰۱) و *SmaI*



شد. این اثرات شامل گردشدن، متورم شدن، دانه دار شدن و کنده شدن سلول ها از حاشیه کشت به سمت مرکز بود که در مقایسه با گروه کنترل تشخیص داده شد (شکل ۱). اثرات سایتوپاتیک ناشی از BVDV-NADL معمولاً در بازه زمانی ۳-۷ روز پس از عفونت قابل مشاهده خواهد بود. زمان بروز و نوع اثرات سایتوپاتیک به خوبی مؤید حضور و تکثیر ویروس عفونی BVDV سایتوپاتیک بود. BVDV- 5' UTR باندهای مورد نظر مربوط به (۳۸۰ bp) BVDV-NS3 (۲۲۳ bp) در نمونه های مربوط به سلول های آلوده شده به BVDV و نمونه های کنترل با استفاده از نشانگر وزن مولکولی pWPI-Linker B مثبت داده شد. صحت برش پلاسمید تشخیص داده شد. مثبت (S) و منفی (N) استفاده Colony PCR انجام گرفت. به این صورت که ۱۰ عدد تک کلون از هر پلیت به طور جداگانه به یک میکروتیوب PCR حاوی $4\mu\text{l}$ آب دیونیزه استریل منتقل گردید. $1\mu\text{l}$ از هر میکروتیوب، به 2 ml محیط LB واجد (۱۰۰ mg/ml) آمپیسیلین اضافه شد و برای rpm استخراج پلاسمید در شیکر انکوباتور 37°C با دور ۳۷۰-۲۰۰ فرار گرفت. $2\mu\text{l}$ باقی مانده از محلول تک کلون برای انجام واکنش PCR مطابق شرایط ذکر شده در بخش ۳ استفاده گردید. در صورت مشاهده باند مورد نظر، از پیش کشت تهیه شده از همان کلونی در LB Mini Amp Broth پلاسمید نوترکیب به روش preparation of DNA درصد الکتروفورز شد. محصولات استخراج پلاسمید برای تعیین توالی به شرکت تکاپوزیست ارسال گردید.

پس از استخراج پلاسمید از کلونی هایی که در Colony PCR نتیجه مثبت داشتند، صحت استخراج پلاسمید وجود قطعه مورد نظر (۳۸۰ bp) ۵' UTR و NS3 (۲۲۳ bp) در پلاسمیدهای نوترکیب تولید شده برشی با آنزیم های اندونوکلئاز محدود کننده BamHI برای NS3pWPI-Linker B و SmaI و -NS3pWPI-Linker B برای pWPI-Linker B -5' UTR و سپس الکتروفورز محصول استخراج شده در $\frac{1}{8}$ درصد تأیید شد (شکل های ۳ و ۴).

هم ترازی توالی گرفته شده از خوانش سکانس پلاسمید با امپلیکون مورد انتظار به خوبی کفايت کلونینگ انجام شده را تأیید کرد (شکل های ۴ و ۵).

محصول در $\frac{1}{8}$ مورد بررسی قرار گرفت.

پس از ترانسفورماسیون محصولات Ligation به صورت مجزا در Competent Cell مناسب از باکتری Stbl4 (*E. coli*) به روش شوک حرارتی، رسوب باکتری ها در پلیت LB آگار حاوی 100 mg/ml آمپیسیلین به صورت یکتاخت کشت داده شد و به مدت ۱۶-۱۴ ساعت در انکوباتور 37°C قرار گرفت. کنترل مثبت (Stbl4) واجد pWPI-Linker B مقاوم به آمپیسیلین) و منفی (فقط Stbl4) در آزمایش استفاده شد؛ سپس واکنش Colony PCR انجام گرفت. به این صورت که ۱۰ عدد تک کلون از هر پلیت به طور جداگانه به یک میکروتیوب PCR حاوی $4\mu\text{l}$ آب دیونیزه استریل منتقل گردید. $1\mu\text{l}$ از هر میکروتیوب، به 2 ml محیط LB واجد (۱۰۰ mg/ml) آمپیسیلین اضافه شد و برای rpm استخراج پلاسمید در شیکر انکوباتور 37°C با دور ۳۷۰-۲۰۰ فرار گرفت. $2\mu\text{l}$ باقی مانده از محلول تک کلون برای انجام واکنش PCR مطابق شرایط ذکر شده در بخش ۳ استفاده گردید. در صورت مشاهده باند مورد نظر، از پیش کشت تهیه شده از همان کلونی در LB Mini Amp Broth پلاسمید نوترکیب به روش preparation of DNA درصد الکتروفورز شد. محصولات استخراج پلاسمید برای تعیین توالی به شرکت تکاپوزیست ارسال گردید.

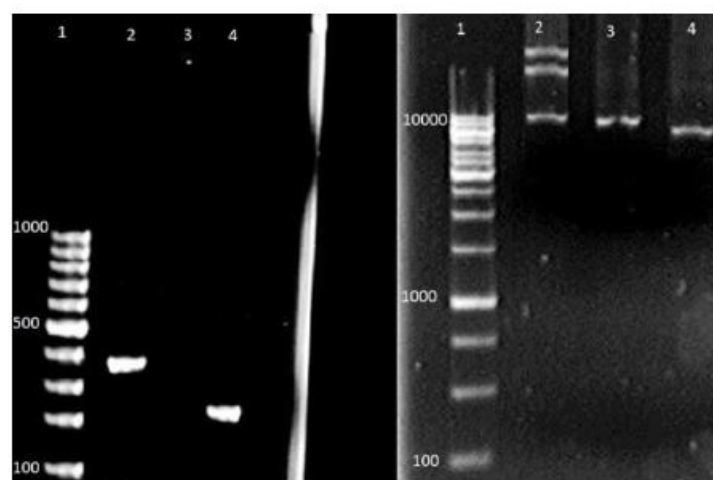
نتایج

بعد از گذشت پنج روز از آلوده سازی سلول های BT با BVDV-NADL اثرات سایتوپاتیک ناشی از حضور و تکثیر ویروس عفونی در کشت سلول (CPE) مشاهده



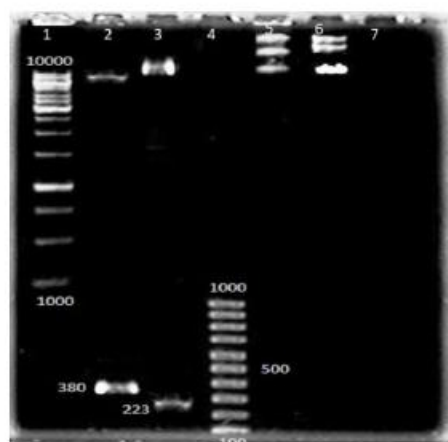
شکل ۱- اثرات سایتوپاتیک BVDV

سمت چپ: رده سلولی BT قبل از تلقیح BVDV سمت راست: رده سلولی BT بعد از تلقیح BVDV ۵' UTR و BVDV NS3 افزوده‌سازی برش پلاسمید



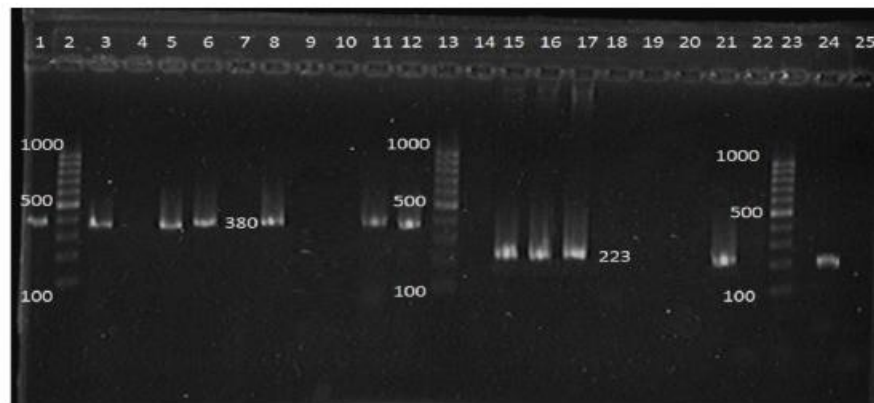
شکل ۲- افزوده‌سازی زن‌های BVDV - 5' UTR و BVDV - NS3 و برش پلاسمید

تصویر چپ: RT-PCR به منظور تزاید BVDV - 5' UTR و BVDV - NS3 پس از تلقیح ویروس به رده سلولی BT از راست به چپ: کنترل منفی NS3 باند ۳۸۰ bp (۲۲۳ bp)، کنترل منفی ۵' UTR، باند ۵' UTR (۳۸۰ bp)، نشانگر وزن مولکولی ۱۰۰ bp تصویر راست: هضم منفرد و دوگانه پلاسمید pWPI-Linker B ۱: نشانگر وزن مولکولی ۱ kb؛ ۲: برش نخورد؛ ۳: هضم منفرد pWPI-Linker B؛ ۴: هضم دوتایی pWPI-Linker B



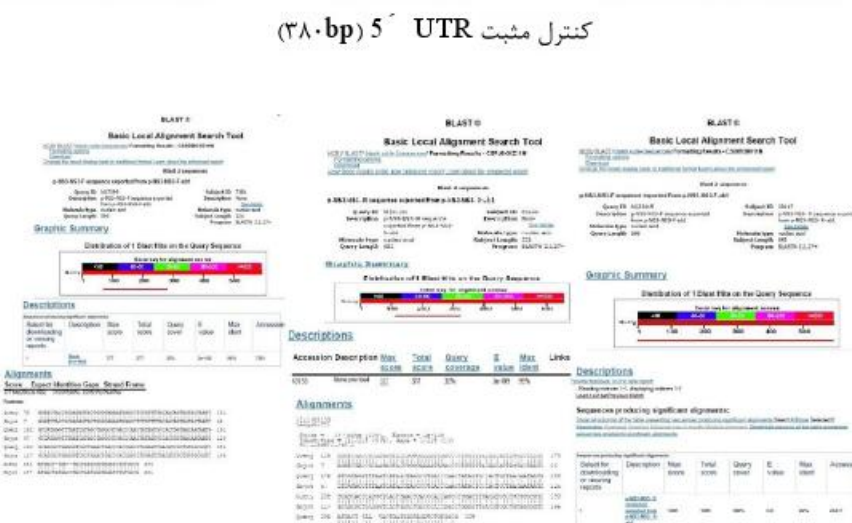
شکل ۳- تأیید تولید پلاسمیدهای نوترکیب pWPI-Linker B-NS3 و pWPI-Linker B- 5' UTR

۱: لدر (1kb)، ۲: pWPI-Linker B-NS3 برش خورده، ۳: pWPI-Linker B-5' UTR برش خورده، ۴: نشانگر وزن مولکولی 100 bp، ۵: pWPI-Linker B -NS3 برش نخورد، ۶: pWPI-Linker B -5' UTR برش نخورد



شکل ۴- Colony PCR Reaction برای ۱۰ کلونی از هر یک از پلاسمیدهای ترانسفورم شده NS3 و pWPI-Linker B- 5' UTR

۲۵: کنترل منفی NS3؛ ۲۴: کنترل مثبت NS3 (100bp)، ۲۳: لدر (223bp)، ۲۲: نتایج مثبت و منفی NS3؛ ۱۲: نشانگر وزن مولکولی (100bp)، ۱۱: نتایج مثبت و منفی 5' UTR، ۱۰: نشانگر وزن مولکولی (100bp)، ۱: کنترل مثبت 5' UTR (380 bp)



شکل ۵- هم ترازی توالی مستخرج از خوانش پلاسمید pWPI-Linker B-NS3 با امپلیکون مورد انتظار



شکل ۶- هم ترازی توالی مستخرج از خوانش پلاسمید pWPI-Linker B-5' UTR با امپلیکون مورد انتظار

بحث

بسیار کمتری در اثر برانگیخته شدن سیستم دفاعی ذاتی نسبت به سایر وکتورهای ویروسی دارد. در عین حال لنتی وکتورها قادرند به مدت طولانی بسیاری از رده‌های سلولی اعام از فعال و در حال تقسیم با ساکن و بدون تقسیم را آلوده کنند؛ علاوه بر این قابلیت انتقال قطعات بزرگ زئی (تا ۳۰۰۰ جفت باز) را دارند و از این نظر بر سایر وکتورهای ویروسی برترند؛ همچنانین به دلیل فراوانی کمتر ادغام زئوم لنتی وکتورها در نزدیکی یا میان پروتوانکوژن‌های سلولی نسبت به رترو وکتورها، احتمال موتازن و سرطان‌زاوی در اثر ادغام زئوم وکتورهای لنتی ویروسی کم است (۴، ۶، ۸، ۱۲، ۲۲، ۲۳ و ۲۵). لذا، برای پایدار کردن بیان زن‌های مورد نظر در سلول‌ها و افزایش طول مدت بیان و انتقال این ویژگی به نسل بعد استفاده از وکتورهای لنتی ویروسی تحويل زن‌های مورد نظر به سلول هدف روشی تأیید شده و کاربردی بوده و کلونینگ زن‌های مورد نظر در پلاسمید لنتی ویروسی انتقال در سیستم‌های بسته‌بندی لنتی ویروسی باید انجام شود.

متأسفانه در خصوص تهیه لنتی وکتورهای حامل زن‌هایی از BVDV مطالعه‌ای در دسترس نیست اما در HCV این زمینه گزارشی در مورد ویروس بسیار مشابه وجود دارد. هنری و همکاران در سال ۲۰۰۶ از وکتورهای لنتی ویروسی برای آلوده کردن رده سلولی Huh-7 استفاده کردند و بدین منظور با استفاده از لنتی وکتورهای NS3 ایجاد شده در سیستم بسته‌بندی نسل سوم بیان NS5b و NS5b از UTR^۵ در این رده سلولی القا شده و تغییر میزان بیان زن پس از القای RNAi با استفاده از آزمون‌های فلوزایتومتری و Real time PCR مورد بررسی و ارزیابی قرار گرفت (۶).

در پژوهش حاضر، در سیستم بسته‌بندی نسل سوم از پلاسمید انتقال pWPI-Linker B eGFP واجد زن BVDV برای تهیه لنتی وکتورهای حاوی زن‌هایی از UTR^۵ استفاده شد و ناحیه ۵'UTR در یک پلاسمید و بخش NS3 در پلاسمید دیگری در فرادرست زن eGFP کلون

BVD به دلیل طبیعت مزمن و پیش‌رونده، تحلیل توان گله، توان و قابلیت بالای سرایت ویروس از گاواهای بیمار به سالم، معضل حضور گوساله‌های (مخازن دائم ویروس)، راههای متعدد انتقال بیماری، حفظ و انتشار ویروس توسط تعدادی از گونه‌های حیوانی و وجود تحت ژنتیپ‌ها و سویه‌های آنتی‌زنی زیاد ویروس اهمیت دارد. به این دلیل کنترل این ویروس ضروری و در عین حال دشوار است (۴، ۵، ۸، ۱۳ و ۲۸). تغییرات مداوم در نواحی آنتی‌زنیک ویروس خصوصاً پادگن‌های اصلی C، E1 و E2 و تشکیل موتانت‌های فراری که با گریز از سیستم ایمنی میزبان پاسخ دفاعی کافی و مؤثر میزبان را خنثی کرده است و متنکی بودن اکثر روش‌های پیش‌گیرانه موجود علیه ویروس به گلیکوپروتئین و پروتئین‌های یاد شده، از عوامل مؤثر در توفیق متوسط یا اندک برنامه‌های کنترل بیماری است (۷، ۸، ۱۳، ۲۷، ۲۸، ۲۵ و ۲۶). هدف کاربردی این پژوهش تهیه‌ی ۵'UTR پلاسمید لنتی ویروسی مناسب حاوی توالی‌های NS3 از BVDV به منظور تهیه لنتی وکتورهای حامل این دو بخش و مانیتورینگ استراتژی‌های درمانی و پیش‌گیرانه علیه این ویروس است.

همچنان که در مقدمه ذکر شد، به دلیل ثابت ماندن توالی کد کننده‌ی ۵'UTR در روند تکاملی ویروس یا نقش‌های عملکردی ویژه پروتئین‌های NS3 NS2-3 و NS5B این بخش‌ها در زن درمانی علیه BVD بیشتر مورد توجه بوده‌اند و با بررسی کارآمدی مهار هریک از این پروتئین‌ها در ممانعت از عفونت‌های ناشی از ویروس‌های این خانواده، در پژوهش حاضر بخش‌های NS3 و ۵'UTR، به صورت حفاظت شده در طول تکامل و نقش‌های زیست شناختی ویژه در تکثیر، بقا و حدت ویروس برای کلونینگ در پلاسمید لنتی ویروسی انتخاب شدند (۱۰، ۱۱، ۱۳، ۱۵، ۲۰، ۲۶ و ۲۷). استفاده از وکتورهای لنتی ویروسی تأثیر پایدارتر و اثرات نابجای

منابع

- 1- Carmona, M.A; Quasdorff, M; Vogt, A; Tamke, A., Yildiz, Y; Hoffmann, P; Lehmann, T; Bartenschlager, R; Engels, J.W; Kullak-Ublick, G.A; Sauerbruch, T. and Caselmann, W.H; Inhibition of hepatitis C virus RNA translation by antisense bile acid conjugated phosphorothioate modified oligodeoxynucleotides (ODN). *Antiviral Research*, 2012; 97(1):49-59.
- 2- Fan, Z.C; and Bird, R.C; Development of a reporter bovine viral diarrhea virus and initial evaluation of its application for high throughput antiviral drug screening. *J. Virol. Methods*, 2012; 180 (1-2): 54-61.
- 3- Gamlen, T; Richards, K.H; Mankouri, J; Hudson, L; McCauley, J; Harris, M. and Macdonald, A; Expression of the NS3 protease of cytopathogenic bovine viral diarrhea virus results in the induction of apoptosis but does not block activation of the beta interferon promoter. *J. Gen. Virol.*, 2010; 91: 133-144.
- 4- Haga, K; Lemp, N.A; Logg, C.R; Nagashima, J; Faure-Kumar, E; Gomez, G.G; Kruse, C.A; Mendez, R; Stripecke, R; Kasahara, N. and Cicciarelli, J.C; Permanent, Lowered HLA Class I Expression Using

شدن تا با استفاده از این پلاسمیدها وکتورهای لنتی ویروسی ارائه کننده این دو ژن برای ترانسداکشن پایدار سلول‌ها و تولید رده سلولی بیان کننده پایدار این دو ژن تهیه گردد. با این نوع طراحی، وقتی ژن‌های مورد نظر در فرادست ژن گزارشگر (eGFP) کلون شده باشند، مشاهده نقاط سبز درخشنان (که نمایانگر بیان ژن گزارشگر در سلول‌های میزبان هستند) در فلورسنت میکروسکوپی تأیید کننده بیان ژن‌های مورد نظر است (۴).

پلاسمید pWPI-Linker B واجد جایگاه برش آنزیم‌های اندونوکلئاز محدود کننده متداول در کارهای کلونینگ بوده و به عنوان پلاسمید انتقال در بسته‌بندی لنتی وکتورها برای ارائه‌ی ۵'UTR و NS3 از ویروس BVDV مناسب است. نتایج به دست آمده از پژوهش حاضر به درستی تولید پلاسمیدهای لنتی ویروسی pWPI-Linker B –BVDV NS3 و نوترکیب pWPI-Linker B –BVDV ۵'UTR بدیهی است پلاسمیدهای تهیه شده به منظور پژوهش‌های آتی در خصوص تولید رده سلولی شاخص و نیز ارزیابی مولکول‌های درمانی علیه این ویروس کاربرد حائز اهمیتی دارند.

تشکر و قدردانی

نویسنده‌گان از حمایت‌های مالی صندوق ملی حمایت از پژوهشگران و زیست فناوران ریاست جمهوری (در قالب طرح شماره ۹۰۰۰۸۰۰۷)، معاونت پژوهشی دانشکده دامپزشکی دانشگاه تهران (در قالب طرح پایان نامه دوره Ph.D شماره ۳۸۰۸۸/۶/۷) و پژوهشگاه ملی مهندسی ریاضی و زیست فناوری تشکر می‌کنند. در عین حال از حمایت‌های علمی و اجرایی آقایان دکتر فالکو اشتینباخ، دکتر دستجردی، دکتر فرجی، دکتر لطفی و دکتر برین قدردانی می‌شود.





- detecting pestivirus antigen in persistently infected cattle around Tehran. Pajouhesh & Sazandegi, 2004; 63: 21-25.
- 10- Keyvanfar, H. and Hemmatzadeh, F; Effects of NADL strain of BVD virus on sheep white blood cells. J. Vet. Res., 2000; 55(1): 17-20.
- 11- Khaliq, S; Khaliq, S.A; Zahur, M; Ijaz, B; Jahan, S; Ansar, M; Riazuddin, S. and Hassan, S; RNAi as a new therapeutic strategy against HCV. Biotechnol Adv., 2010; 28: 27-34.
- 12- KuEmmerer, B.M; Tautz, N; Becher, P; Thiel, H. and Meyers, G; The genetic basis for cytopathogenicity of pestiviruses. Vet. Microbiol., 2000; 15 (77): 117-128.
- 13- Lambeth, L.S; Moore, R.J; Muralitharan, M.S; and Doran, T.J; Suppression of bovine viral diarrhea virus replication by small interfering RNA and short hairpin RNA-mediated RNA interference. Vet. Microbiol., 2007; 119: 132-143.
- 14- Li, J; Guo, H; Shi, Z. and Tu, C; In vitro inhibition of CSFV replication by retroviral vector-mediated RNAinterference. J. Virol. Methods, 2010; 169: 316-321.
- 15- Lv, K; Guo, Y; Zhang, Y; Wang, K; Li, K; Zhu, Y. and Sun, S; Transient Lentivirus Vectors With shRNA constructs: Averting Cytotoxicity by Alloreactive T- Lymphocytes. Transplant. Proc., 2006; 38(10): 3184-3188.
- 5- Hemmatzadeh, F; Momtaz, H; Keyvanfar, H. and Banihasan, E; Antigenic pattern of BVD viruses isolated in Iran. Indian Vet. J., 2006; 83(10): 1048-1050.
- 6- Henry, S.D; van der Wegen, P; Metselaar, H.J; Tilanus, H.W; Scholte, B.J. and van der Laan, L.J; Simultaneous Targeting of HCV Replication and Viral Binding with a Single Lentiviral Vector Containing Multiple RNA Interference Expression Cassettes. Mol. Ther., 2006; 14(4): 485-493.
- 7- Houe, H; Economic impact of BVDV infection in dairies. Biologicals, 2003; 31: 137-143.
- 8- Jordao, R.S; Ribeiro, C.P; Pituco, E.M; Okuda, L.H; Claudia Del Fava, C.D. and Stefano, E; Serological response of guinea pigs to oily and aqueous inactivated vaccinescontaining a Brazilian isolate of the Bovine Viral Diarrhea Virus (BVDV). Res.Vet. Sci., 2011; 91: 311-315.
- 9- Kargar Moakhar, R; and Hemmatzadeh, F; A Survey for



- 21- Randall, G. and Rice, C.M; Interfering with hepatitis C RNA replication. *Virus Res.*; 2004; 102: 19-25.
- 22- Salmon, P. and Trono, D; Production and Titration of Lentiviral Vectors. In: *Current Protocols in Neuroscience*. Sibley, D., McKay, R., Charles Gerfen, C. and Rogawski, M. John Wiley & Sons publications. Wiley Drive, USA; 2006; 4.21.1-4.21.24
- 23- Spurgers, K.B; Sharkey, C.M; Warfield, K.L. and Bavari, S; Oligonucleotide antiviral therapeutics: Antisense and RNA interference for highly pathogenic RNA viruses. *Antiviral Res.*; 2008; 78:26-36.
- 24- St-Louis, M.C; Massie, B. and Archambault, D; The bovine viral diarrhea virus (BVDV) NS3 protein, when expressed alone in mammalian cells, induces apoptosis which correlates with caspase-8 and caspase-9 activation. *Vet. Res.*; 2005; 36: 213-227.
- 25- Tiscornia, G.; Singer, O. and Verma, I.M; Production and purification of lentiviral vectors. *Nat. Protoc.*, 2006; 1(1): 241-245.
- 26- Wilson, J.A. and Richardson, C.D; Hepatitis C virus replicons escape RNA interference induced by a short interfering RNA directed against inhibition of foot-and-mouth disease virus replication by siRNAs silencing VP1 protein coding region, *Res. Vet. Sci.*, 2009; 86 : 443-452.
- 16- Meyers, G. and Thiel, H.J; Molecular characterization of pestiviruses. *Adv.Virus Res.*, 1996; 47: 53-118.
- 17- Ni, W; Hu, S; Qiao, J; Yu, Y; Wang, D; Tong, Q; Zhang, Y. and Chen, C; Suppression of bovine viral diarrhea virus replication by single and dual short hairpin RNA-mediated RNA interference. *Res.Vet. Sci.*, 2012; 93(1): 544-548.
- 18- Pankraz, A; Simone, P; Thiel, H.J; Gallei, A; and Becher, P; A single point mutation in nonstructural protein NS2 of bovine viral diarrhea virus results in temperature-sensitive attenuation of viral cytopathogenicity. *J. Virol.*, 2009; 83(23): 12415-12423.
- 19- Poole, T.L; Wang, C.Y; Popp, R.A; Potgieter, L.N.D; Siddiqui, A. and Collett, M.S; Pestivirus translation initiation occurs by internal ribosome entry. *Virology*, 1995; 206: 750-754.
- 20- Randall, G; Grakoui, A. and Rice, C.M; Clearance of replicating hepatitis C virus replicon RNAs in cell culture by small interfering RNAs. *PNAS* publications, New York, USA, 2003; 100(1): 235-240.



the NS5B coding region. *J. Virol.*; 2005; 79: 7050-8.

27- Xu, J; Mendez, E; Caron, P.R; Lin, C; Murcko, M.A; Collett, M.S. and Rice, C.M; Bovine Viral Diarrhea Virus NS3 Serine Proteinase: Polyprotein Cleavage Sites, Cofactor Requirements, and Molecular Model of an Enzyme Essential for Pestivirus Replication. *J. Virol.*; 1997; 71(7): 5312-5322.

28- Zemke, J; Ko nig, P; Mischkale, K; Reimann, I. and Beer, M; Novel BVDV-2 mutants as new candidates for modified-live vaccines. *Vet. Microbiol.*; 2010; 142: 69-80.





Cloning of BVDV NS3 and BVDV 5'UTR into pWPI-linker B lentiviral plasmid

Mokhtari, A.^{1*}; Madadgar, O.²; Ghalyanchi Langeroudi, A.³; Mahzounieh, M.⁴

1. Assistant Professor, Department of Pathobiology, Faculty of Veterinary Medicine, University of Shahrekord, Shahrekord-Iran.
2. Assistant Professor, Department of Microbiology, Faculty of Veterinary Medicine, University of Tehran, Tehran-Iran.
3. Assistant Professor, Department of Microbiology, Faculty of Veterinary Medicine, University of Tehran, Tehran-Iran.
4. Professor, Department of Pathobiology, Faculty of Veterinary Medicine, University of Shahrekord, Shahrekord-Iran.

Received: 29 April 2015

Accepted: 30 December 2015

Summary

Bovine viral diarrhea virus (BVDV) is a genus Pestivirus of the family Flaviviridae and causes significant economic and hygienic losses in cattle farms throughout the world. The virus has spread worldwide and despite the wide use of various control strategies against it, BVD remains prevalent. In recent years, numerous measures such as anti-viral gene therapies are frequently employed to control BVDV infection. One way to evaluate these measures is the cloning of conserved areas of the viral genome into suitable vectors for the preparation of cell lines expressing sub-genomic replicons of the virus. In this study, after multiplication of conserved sequences of BVDV- NADL NS3 and 5'UTR by RT-PCR, these fragments were cloned in pWPI-linker B lentiviral vector at the upstream of GFP gene. The validity of cloning was confirmed using restriction enzyme digestion and sequencing. Therefore these recombinant plasmids will be available to produce lentiviral transfer vectors carrying the transgenes using the lentiviral packaging systems.

Keywords: BVDV, NS3, 5'UTR, cloning, pWPI-linker B.

* Corresponding Author E-mail: a.mokhtari@alumni.ut.ac.ir